

عملکرد ژئوتکنیکی سیستم رادیه مرکب با ملاحظه‌ی متغیرهای شمع‌های منفصل

سعید صالحی هلکشاد (کارشناس ارشد)

ابوالفضل اسلامی* (دانشیار)

دانشکده‌ی هندسی عمران و محیط زیست، دانشگاه صنعتی امیرکبیر

استفاده از شمع‌های کاهنده‌ی نشست در طراحی فونداسیون رادیه‌مرکب (PRF)، سبب کاهش تعداد و یا ابعاد شمع‌ها می‌شود. در این حالت امکان ایجاد تنش محوری بالا در شمع‌ها و یا آسیب به اتصالات وجود خواهد داشت. یک گزینه استفاده از سیستم رادیه‌مرکب با شمع‌های منفصل است. در این تحقیق با استفاده از نرم‌افزار ABAQUS، ضمن مدل‌سازی سیستم رادیه‌مرکب مدل فیزیکی، موارد عملی و مطالعه‌ی موردي، به بررسی نشست، تنش تماسی، و تنش محوری شمع پرداخته شده است. در ادامه، تأثیر ارتفاع شکاف و چیدمان شمع‌ها در پلان بررسی و آیینه‌بینه معرفی شده است. نتایج نشان می‌دهند که با استفاده از شمع‌های منفصل، نسبت بار شمع‌ها به کل بار کاهش و صفحه‌ی خشی به اعماق پایین‌تر انتقال می‌یابد. همچنین با کاهش ارتفاع شکاف، تنش محوری بیشینه‌ی شمع و نسبت بار شمع به کل بار افزایش، و با تمرکز شمع‌های منفصل در مرکز رادیه، نشست و مجموع تنش شمع‌ها کاهش می‌یابد.

واژگان کلیدی: فونداسیون رادیه مرکب (PRF)، شمع‌های منفصل، مدل‌سازی عددی، بینه‌سازی، شکاف (Gap).

s.salehi@aut.ac.ir
afeslami@aut.ac.ir

۱. مقدمه

طراحی گروه شمع معمولاً با اتخاذ ضربی اطمینان بالایی برای شمع‌های است و معیار اصلی طراحی، ظرفیت باربری گروه است. در این حالت آرایش شمع‌ها در گروه به گونه‌یی است که کل بار روسازه را تحمل کند. اگرچه کلاهک که اغلب یک پی‌گسترده است، در تناس با خاک است، اما سهم آن در باربری و رفتار گروه در نظر گرفته نمی‌شود.^[۱] در این حالت می‌توان از مفهوم طراحی رادیه‌مرکب (PRF) استفاده کرد. در طراحی رادیه‌مرکب، تقسیم بار بین رادیه و شمع‌ها صورت می‌گیرد و شمع‌ها به اندازه‌ی ظرفیت باربری شمع‌تها و یا حتی بیشتر از آن تحت بار قرار می‌گیرند. بنابراین فونداسیون رادیه‌مرکب سبب کاهش نشست کل و غیریکنواخت به شیوه‌یی کاملاً بینه‌تر از مفهوم گروه شمع می‌شود. در طراحی رادیه‌مرکب مرسوم، تعداد شمع‌ها معمولاً زیاد است و بار تحمل شده توسط هر شمع نسبتاً کم است که باعث حاشیه‌ی اطمینان بالایی در مورد ظرفیت باربری ژئوتکنیکی یا بار گسیختگی سازی‌یی این شمع‌ها می‌شود. معمولاً ظرفیت ژئوتکنیکی شمع‌ها در برابر مقاومت فشاری مصالح شمع تعیین‌کننده است. همچنین به علت تعداد زیاد شمع‌های استفاده شده و اتصالات مناسب، مقاومت شمع‌ها در برابر بارهای افقی کافی است. به منظور کاهش تعداد شمع‌ها، پژوهشگران مفهوم طراحی شمع‌های کاهنده‌ی بهمنزله‌ی کاهنده‌ی نشست و استفاده از ظرفیت کامل شمع‌ها در بار طرح را نشان می‌دهد. در نتیجه، متحنی بار-نشست در بار طرح خطی نیست، اما سیستم فونداسیون حاشیه‌ی اطمینان کافی دارد و معیار نشست نیز برآورده شده است. بنابراین طراحی براساس متحنی ۳ اقتصادی‌تر از طراحی براساس متحنی‌های ۱ و ۲ خواهد بود.^[۲]

* نویسنده مسئول

تاریخ: دریافت ۱۸/۱۲/۱۳۸۹، اصلاحیه ۱۵/۱۳۹۰، پذیرش ۲۴/۱۳۹۱.

Messe Turhaus در آلمان، مدل فیزیکی و مورد مطالعاتی پرداخته می‌شود. به منظور بررسی رفتار سیستم رادیه مرکب، به بررسی نشست، تنش تاماسی خاک زیر رادیه، تنش محوری شمع و نسبت بار شمع به کل بار پرداخته شده است.

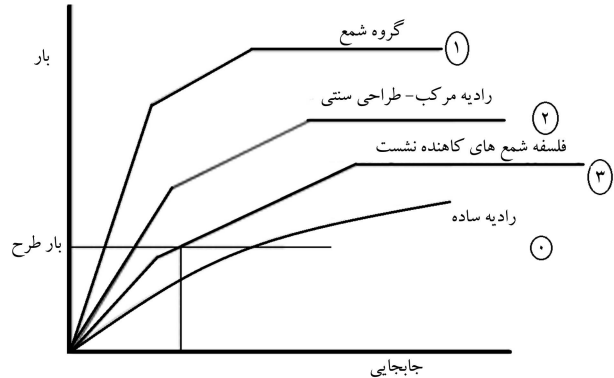
۲. سیستم رادیه مرکب با شمع‌های منفصل

پژوهشگران در سال ۱۹۷۹ در مروری بر سیستم‌های رادیه مرکب، نشان دادند که اگر خاک زیر رادیه به عنوان یک محیط کشسان مسلح شده در نظر گرفته شود، کاهش مقدار نشست قابل ملاحظه است.^[۷] بنابراین رویکردی جدید در طراحی فونداسیون‌ها، می‌تواند معزیز شمع‌ها فقط بهمنزله‌ای ابزاری برای بهبود پارامترهای سختی خاک باشد. این کار می‌تواند با انفصال این شمع‌ها از رادیه انجام گیرد. در این صورت فاصله‌ای ایجاد شده بین رادیه و شمع‌ها سبب می‌شود شمع‌ها مستقیماً بارهای روسازه را تحمل نکنند. وقتی این شمع‌های کاهنده‌ی نشست به رادیه متصل نباشند، می‌توان نسبت به شمع‌های ساختمانی ضربی اطمینان بسیار کوچک‌تری در برابر گسیختگی سازه‌یی انتخاب کرد و این در حالی است که هیچ تخلیفی از آئینه‌های مختلف ساختمانی صورت نمی‌گیرد و از آنجایی که می‌توان ظرفیت ژوتکنیکی نهایی را کاملاً بسیج شده فرض کرد، دیگر ملاحظات سازه‌یی این شمع‌ها کاهنده نشست بحرانی نیست.

همچنین از آنجایی که این شمع‌ها اعضای اصلی تحمل‌کننده‌ی بار نیست، می‌توان تفاوت‌ها و عدم قطعیت‌های اندک در بارها و مقاومت مصالح را نادیده گرفت. حتی بعضی ترک‌های کوچک در شمع‌ها ممکن است نقش مهمی در کاهش تقویت خاک زیری نداشته باشند. در اینجا ضربی اطمینان کوچکی در حد $1/3$ را می‌توان در برابر گسیختگی سازه‌یی مصالح شمع اعمال کرد. بنابراین به این شمع‌ها کاهنده‌ی نشست و متفصل اجازه داده می‌شود نسبت به شمع‌های متصل به رادیه، بارهای بزرگ‌تری تحمل کنند که این موضوع باعث صرفه‌ی اقتصادی می‌شود. به علاوه خسارات احتمالی به اتصالات سازه‌یی دیگر یک موضع مهم در طراحی نیست و بارهای افقی می‌توانند به طور مؤثر از طریق نیروی چسبندگی سیج شده در فصل مشترک رادیه-خاک انتقال یابد. همچنین به علت اینکه معمولاً ساخت فونداسیون رادیه برای ساختمان‌های بلند همراه با زیرزمین است، نیروهای افقی می‌توانند توسط فشار مقاوم در دیوارهای زیرزمین تحمل شوند.^[۸]

۳. مدل سازی عددی سیستم رادیه مرکب

سه روش را می‌توان بهمنزله‌ی روش‌های تحلیل فونداسیون رادیه مرکب معرفی کرد. این سه روش عبارت‌اند از: روش‌های تحلیلی، آزمایشگاهی، و عددی. روش‌های عددی مختلفی را نیز می‌توان برای تحلیل فونداسیون رادیه مرکب استفاده کرد که این روش‌ها عبارت‌اند از: روش المان مرزی، روش‌های ساده‌شده اجزای محدود، روش‌های اجزایی محدود سه‌بعدی، و روش‌های تک‌بی. مدل سازی در این تحقیق با استفاده از روش اجزایی محدود دو‌بعدی و سه‌بعدی و به کمک نرم‌افزار ABAQUS انجام گرفته است. در این شرایط یک گزینه، می‌تواند استفاده از سیستم رادیه مرکب وسیعی از مسائل خطی و غیرخطی شامل مسائل استاتیکی، دینامیکی، انتقال حرارت و الکترونیکی را تحلیل کرد.^[۹] برای مدل سازی شمع و خاک از المان‌های Solid Continuum سه بعدی (C³D) و برای مدل سازی رادیه از المان‌های S³ (المان شل ۳ گرهی) استفاده شده است. سطح تماس رادیه و خاک به صورت زبر^۲

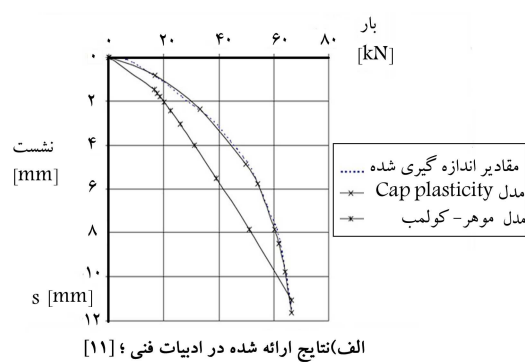


شکل ۱. منحنی‌های بار-نشست رادیه مرکب بر اساس فاسفه‌های مختلف طراحی.

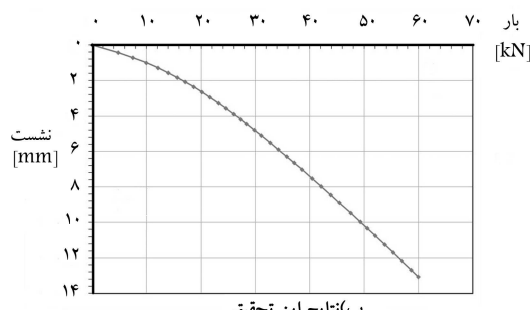
برای طراحی سیستم رادیه مرکب بهتر است ابتدا عملکرد فونداسیون رادیه بدون حضور شمع‌ها مورد بررسی قرار گیرد. اگر رادیه ساده فونداسیون کمی از ظرفیت باربری مورد نیاز را فراهم می‌کند، بهتر است تا طراحی فونداسیون رادیه مرکب به طریق سنتی که در آن شمع‌ها برای اکثر بار روسازه طراحی می‌شود، انجام شود و رادیه فقط برای بهبود عملکرد شمع‌ها و کاهش انذک ملازمات طراحی شمع‌ها در نظر گرفته شود. اما اگر رادیه ساده، ظرفیت باربری کافی و یا نزدیک به ظرفیت باربری مورد نیاز را داشته باشد، ولی معیارهای نشست کل یا نشست غیریکنواخت را برآورده نسازد، می‌توان شمع‌ها را به صورت کاهنده‌ی نشست طراحی کرد.^[۵] اما در سیستم رادیه مرکب معمولی، چون شمع‌ها به رادیه متصل‌اند و به سبب سختی بیشتر شمع‌ها در برابر رادیه، سهم قابل توجهی از بارهای آنها می‌رسد و نقش رادیه در برابری کم رنگ جلوه می‌کند. در این حالت چون تعداد شمع‌ها عمدتاً زیاد است، بار تحمل شده توسط هر شمع نسبتاً کم است. واضح است که در صورت استفاده از شمع‌های کاهنده‌ی نشست و کاهش ضربی اطمینان ژوتکنیکی و سازه‌یی در طراحی شمع‌ها، تعداد یا ابعاد شمع‌ها کاهش می‌یابد.

براساس پژوهشی در سال ۱۹۹۳ فرض می‌شود ظرفیت ژوتکنیکی شمع‌ها تحت شرایط بهره‌برداری $1\text{ تا }80\%$ بسیج شود.^[۶] در چنین وضعیتی می‌توان ضربی اطمینان کمتری به ظرفیت ژوتکنیکی شمع‌ها اعمال کرد. در این حالت چون عموماً ظرفیت باربری رادیه ساده کافی است، عملکرد سیستم رادیه مرکب هنوز رضایت‌بخش است، اما این شمع‌ها که با فاصله‌ی زیاد در زیر رادیه قرار گرفته‌اند، ممکن است مقاومت جانی کافی در برابر بارهای افقی ایجاد نکنند. بنابراین بسیاری از پژوهشگران و مشاوران از استفاده از شمع‌های کاهنده‌ی نشست برای سازه‌های قرار گرفته بر فونداسیون رادیه در نواحی فعل لرزه‌یی یا نواحی با بارهای جانبی بزرگ که از باد ناشی می‌شود، تردید دارند. مثلاً در جاکارتا اندونزی به دلیل اینکه این طرح را مسئلان امر ساختمان تأیید نمی‌کنند، برای استفاده از این شمع‌های کاهنده‌ی نشست تمايلی ندارند. این عدم تأیید به علت آسیب احتمالی به اتصالات بین تعداد کم شمع و رادیه طی یک زلزله است.^[۴] همچنین به علت سختی جانی بیشتر شمع‌ها در برابر رادیه، بیشتر بار جانبی نیز به شمع می‌رسد. در این حالت ممکن است این شمع‌ها مقاومت جانی کافی ایجاد نکنند و احتمال آسیب به اتصالات سازه‌یی نیز وجود خواهد داشت. در این شرایط یک گزینه، می‌تواند استفاده از سیستم رادیه مرکب با شمع‌های منفصل باشد.

در این تحقیق با استفاده از روش اجزای محدود دو‌بعدی تقارن محوری و روش اجزایی محدود سه‌بعدی و با استفاده از نرم‌افزار ABAQUS به بررسی سازه‌های مهم ابزارگزاری شده مانند ساختمان ۲۵۶ متری Messeeturm و ساختمان

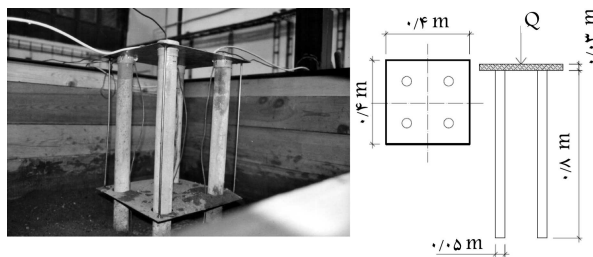


الف) نتایج ارائه شده در ادبیات فنی؛ [۱۱]



ب) نتایج این تحقیق.

شکل ۳. منحنی های بار-تغییر مکان به دست آمده از آزمایشگاه و مدل سازی عددی.



شکل ۲. آزمایش مدل فیزیکی فونداسیون رادیه مرکب در پراگ. [۱۱]

جدول ۱. مشخصات خاک و شمع در مدل سازی رادیه مرکب آزمایشگاهی. [۷]

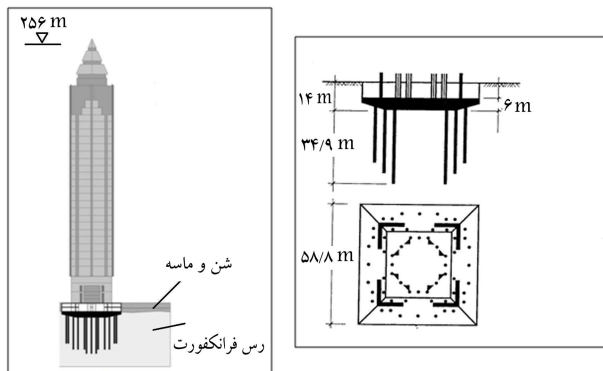
مصالح	γ (kN/m³)	φ (°)	C (kPa)	E (MPa)	ν
بتون شمع و رادیه	۲۵	-	-	۳۰۰۰۰	۰/۲
ماسه	۱۸	۲۹	۵	۱۰	۰/۲۵

مدل شده است. یعنی اجازه‌ی هیچ‌گونه لغزشی در نقاط اتصال داده نمی‌شود. سطح تماس شمع و خاک دارای اصطکاک است که با اصطکاک به روش کولمب اصلاح و با ضریب m مدل شده است. با توجه به پیشنهادی در سال ۲۰۰۲، [۴] تغییرشکل ۵ mm برای بسیج کامل اصطکاک جداری و ضریب m با فرمول پیشنهادی دیگری (۱۹۹۸) مطابق رابطه‌ی ۱ انتخاب شده است: [۱۰]

$$\mu = \tan(\delta) \\ \delta = \tan^{-1}(\sin \phi' \times \cos \phi' / (1 + \sin^2 \phi')) \quad (1)$$

در این رابطه، ϕ' زاویه‌ی اصطکاک مؤثر خاک بر حسب درجه است. به منظور کالیبراسیون مدل سازی، رادیه مرکب همراه با ۴ شمع مانند مدل فیزیکی در آزمایشگاه CEG FCE CTU پراگ (شکل ۲) آنالیز شده است. [۱۱] برای مدل سازی خاک، ابعاد خاک برابر با اندازه‌ی جعبه‌یی حاوی آن در نظر گرفته شده است. همچنین به علم تقارن فقط ۱/۴ کل مدل آنالیز شده است. رادیه با ابعاد ۰/۴×۰/۴×۰/۵ m در نظر گرفته شده است. شمع‌ها به قطر ۰/۵ m و با طول ۰/۸ m هستند. مشخصات خاک ماسه‌یی رس دار و شمع در جدول ۱ آورده شده است. به منظور بررسی رفتار بار-نشست، باری برابر با ۶۰ kN در مرکز رادیه وارد شده است.

به منظور صحبت‌سنگی نتایج مدل با نتایج مدل‌های قبلی و نتایج به دست آمده از آزمایشگاه، منحنی‌های بار-تغییر مکان رادیه مرکب در شکل ۳ آورده شده است. با توجه به نتایج می‌توان دید که نتایج آنالیز اختلاف اندکی با مقادیر اندازه‌گیری شده دارند.



شکل ۴. فونداسیون رادیه مرکب برای برج Messeeturm [۴].

از المان‌های تقارن محوری^۴ استفاده شده است. استفاده از این نوع آنالیز به علت سهولت مدل سازی و کاهش زمان حل مسئله نسبت به آنالیزهای سه بعدی مقرن ۳۳ m به صرفه است. در این فونداسیون رادیه‌ی مرتعشکل با دایره‌یی به شعاع ۳۳ m جایگزین و فرض شده است که شمع‌های با طول ۲۱، ۲۷ و ۳۵ m به ترتیب در ۳ نوار به شعاع‌های ۲۱، ۲۷ و ۱۲ m قرار گرفته‌اند. به منظور مدل سازی شمع‌ها از نواهایی با مدل کشسانی معادل استفاده شده است (رابطه‌ی ۲).

$$E_{eqps} = \frac{n_{ringi} A_p E_p}{2\pi R_i B} \quad (2)$$

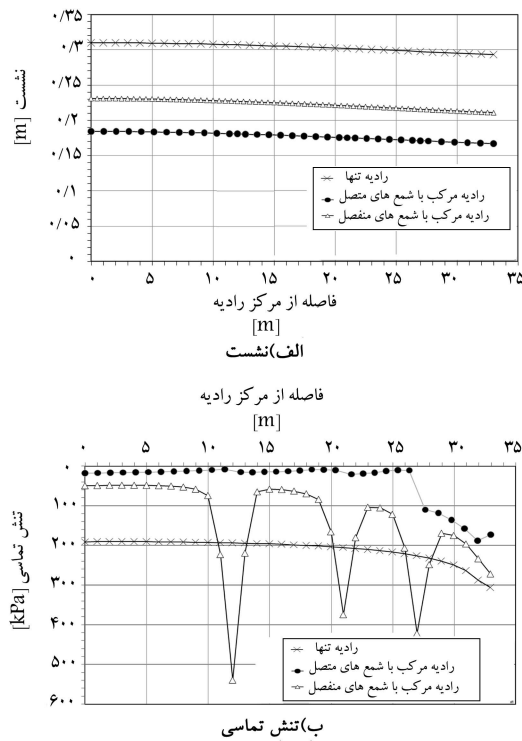
که در این رابطه، E_{eqps} مدل کشسانی میانگین شمع‌ها، n_{ringi} تعداد شمع‌ها در رینگ i ، A_p سطح مقطع عرضی شمع، E_p مدل کشسانی مصالح شمع، R_i شعاع رینگ i m، و B قطر شمع است. [۱] با توجه به ضخامت متغیر رادیه، رادیه با ۳ ضخامت متغیر مدل و ضخامت آن در کناره ۳ m و در وسط ۶ m در نظر گرفته شده است. به این ترتیب مدل کشسانی شمع‌ها به صورت جدول ۲ معادل شده است.

۴. بررسی موارد عملی^۳ و ارزیابی فاکتورهای مؤثر

۱.۴. ساختمان Messeeturm

برج Messeeturm با ارتفاع ۲۵۶ m، بلندترین ساختمان در اروپا در زمان ساخت آن بود. این ساختمان متشکل از رادیه‌یی به ضخامت ۶ m در بخش مرکزی است که ضخامت آن در لبه‌ها به ۳ m کاهش می‌یابد. ۶۴ شمع در ۳ دایره‌یی هم مرکز آرایش یافته‌اند. شمع‌ها ۱/۳ m قطر دارند و طول آنها از ۲۶/۹ m تا ۳۴/۹ m می‌باشد (شکل ۴).

با توجه به اینکه در فونداسیون رادیه مرکب ساختمان Messeeturm، آرایش شمع‌ها و نوع بارگذاری بسیار شبیه به حالت تقارن محوری است، به منظور مدل سازی



شکل ۵. مقایسه‌ی دیاگرام نشست و تنش تماسی زیر رادیه برای فونداسیون‌های رادیه‌ساده، رادیه با شمع‌های متصل و متفرق.

مقادیر نشست سیستم رادیه‌مرکب با شمع‌های متفرق (Gap = ۰,۵ m) نزدیک به شمع‌های متصل است و همان‌گونه که از شکل ۵ مشخص است، انفصال شمع‌ها از کارایی شان در کاهش نشست فونداسیون نمی‌کاهد.
 مقادیر تنش تماсی (شکل ۵) در زیر رادیه نشان می‌دهد که در سیستم رادیه با شمع‌های متصل، مقادیر تنش تماسی کمتر از دو حالت دیگر است و در حالت رادیه‌ساده تنش تماسی بیشتر است. اما در حالت رادیه با شمع‌های متفرق تنش تماسی بیشتر از سیستم رادیه با شمع‌های متصل است. در حالت رادیه با شمع‌های متفرق با انفصال شمع‌ها از رادیه به علت نیروهای کشش رو به پائین که به علت انتقال نیرو به شمع‌های متفرق به وجود می‌آید، فشار تماسی در اطراف شمع‌ها به مقدار زیادی افزایش می‌یابد. اما این مقادیر در فاصله‌ی بین شمع‌ها تعیین می‌یابد و بسیار کمتر از ظرفیت باربری رادیه می‌شود. مقدار دقیق تمرکز تنش و تغییرات تنش تماسی بین شمع‌ها مستلزم استفاده از مدل‌های رفتاری دقیق‌تر، استفاده از المان‌های کوچک‌تر در بین شمع‌ها و استفاده از المان‌های سطح مشترک (برای ایجاد امکان لغش بین پی و خاک و توزیع مجدد تنش) است و با توجه به محدودیت‌های تحلیل (برای مثال مدل کشسان خطی همراه با معیار گسیختگی موهر-کولمب) حصول مقادیر دقیق این تنش‌ها مشکل است.

۲.۴. ساختمان Messe Torhaus

фонداسیون این ساختمان ۳۰ طبقه که در سال‌های ۱۹۸۴-۱۹۸۲ ساخته شده است، اولین فونداسیون رادیه‌مرکب ساخته شده در آلمان به شمار می‌رود (شکل ۶). این ساختمان MN ۴۰۰ وزن و ۱۳۰ m ارتفاع دارد. عبور یک خیابان و یک کالورت بزرگ فاضلاب باعث شده است تا رادیه به ۲ بخش تقسیم شود که هریک ۲,۵ m ضخامت دارند و با ۴۲ شمع درجا تقویت می‌شوند. فاصله‌ی بین دو رادیه ۱۰ m

جدول ۲. مدل کشسانی معادل شمع‌ها به منظور استفاده در مدل دوبعدی ساختمان .Messelurm

مدول کشسانی (MPa)	شمع
۵۴۱۶	ردیف داخلی (۳۵ متری)
۲۸۶۹	ردیف میانی (۳۱ متری)
۳۹۱۷	ردیف بیرونی (۲۷ متری)

جدول ۳. خصوصیات مصالح به منظور استفاده در مدل ساختمان [۸].Messelurm

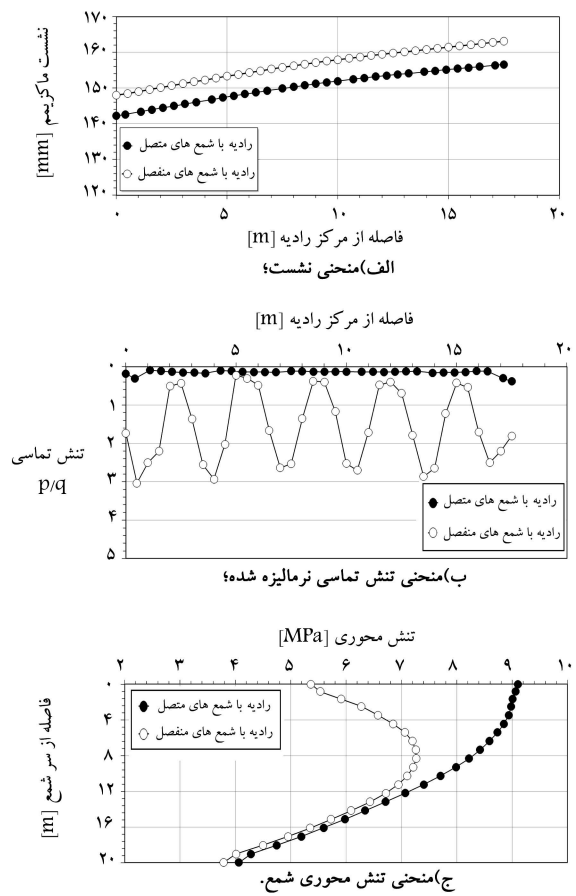
γ (kN/m ³)	φ (°)	C (kPa)	E (MPa)	صالح
۲۵	-	-	۰,۲	بتن رادیه
۲۵	-	-	۰,۲	بتن شمع
۱۹	۲۰	۲۰	۰,۱۵	رس فرانکفورت
۲۲	۱۵	۱۰۰۰	۰,۲۵	سنگ آهک فرانکفورت

خاک زیر رادیه از ۳ لایه تشکیل شده است: لایه‌ی اول از ماسه و شن که تقریباً ۱۰ m از سطح زمین امتداد یافته است. در زیر این لایه، خاک رس فرانکفورت^۵ به عمق ۲۴,۸ m و در زیر آن سنگ آهک فرانکفورت^۶ به عمق ۵۵,۲ m قرار دارد. به منظور مدل‌سازی مصالح رادیه و شمع از بتن با رفتار کشسان خطی و برابی مدل‌سازی رس فرانکفورت و سنگ آهک فرانکفورت از مدل رفتاری موهر-کولمب استفاده شده است، که پارامترهای آن در جدول ۳ آورده شده است. به دلیل آنکه به منظور اجرای فونداسیون ۸ mتر خاک برداری شده است و همچنین به علت سهولت مدل‌سازی از لایه‌ی ماسه و شن صرف نظر شده است. در ساختمان Messelurm جهت اجرای فونداسیون سطح آب حدود ۱۰ mتر پایین آورده شده و پس از اتمام مرحله اجرای سطح آب در تراز بالاتر از رادیه قرار گرفته است، به همین منظور در مدل‌سازی، وزن مؤثر بتن فونداسیون و با احتساب ضخامت میانگین رادیه در نظر گرفته شده است.

بارگذاری در ۴ مرحله صورت گرفته است: در مرحله‌ی اول تنش‌های اولیه به خاک اعمال شده است. در مرحله‌ی دوم به اندازه‌ی ۸ mتر خاک برداری و در مرحله‌ی سوم وزن رادیه برابر با ۳۶,۱ kPa روی سطح رادیه اعمال شده است. در مرحله‌ی چهارم بار کل ناشی از روسازه برابر با ۱۵۶۸ MN به صورت بارگسترهای اعمال شده است. سطح تنش شمع و خاک دارای اصطکاک است که با استفاده از اصطکاک به روش کولمب و با ضریب $\alpha_{pr} = ۰,۳۵$ m مدل شده است. همان‌طور که از شکل ۵ مشخص است، بیشینه‌ی نشست در سیستم رادیه با شمع‌های متصل برابر با ۱۸ cm محاسبه شده است. در حالی که نشست واقعی اندازه‌گیری شده تقریباً ۱۴,۴ cm است. پژوهشگران در سال ۲۰۰۳، با آنالیز سه‌بعدی مقدار نشست را برابر $۱۷,۴$ cm محاسبه کرده‌اند.^[۱۲] علت اختلاف اندازه‌گیری شده را می‌توان به دلیل استفاده از مدل دوبعدی و در نظر گرفتن شمع‌ها به صورت رینگ، به جای حالت استقرار واقعی شان بیان کرد. همچنین به منظور تقسیم بار شمع‌ها و رادیه، ضریب رادیه مرکب α_{pr} به صورت رابطه‌ی ۳ تعریف می‌شود:^[۱۲]

$$\alpha_{pr} = \frac{\sum P_{pile}}{\sum P_{total}} \quad (3)$$

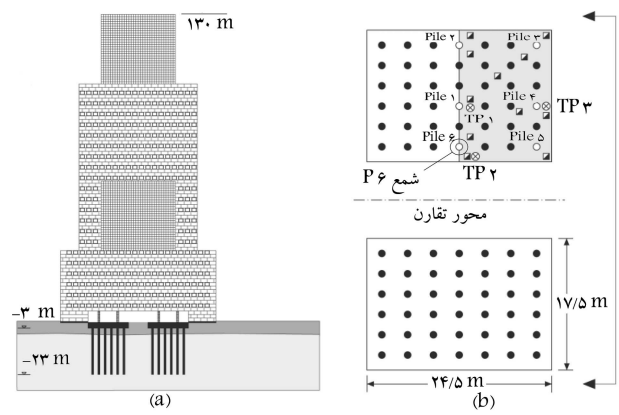
که در آن P_{pile} مجموع بار شمع‌ها و P_{total} مقدار کل بار اعمال شده است. مقدار این ضریب در آنالیز فوق ۰,۵ محاسبه شده است، در حالی که مطابق آخرین مقدار گزارش شده ۰,۴۳ و مقدار اندازه‌گیری شده در سال ۲۰۰۳ ۰,۶۳ است.



شکل ۷. دیاگرام نشست، تنش تماсی و تنش محوری در شمع P6 برای فونداسیون های رادیه با شمع های متصل و منفصل در فونداسیون Messe Turhaus.

رادیه مركب با شمع های متصل و منفصل به ترتیب $15/7\text{ cm}$ و $16/3\text{ cm}$ محاسبه شده است. نتایج تنش تماصی در دو سیستم نشان می دهد که در سیستم رادیه مركب با شمع های منفصل تنش تماصی بیشتر از رادیه با شمع های متصل است. همچنین تمرکز تنش در اطراف شمع های منفصل نیز قابل مشاهده است. به علت تعدد شمع ها، تمرکز تنش در نقاط زیادی از خاک زیر رادیه رخ می دهد. نتایج تنش محوری در شمع نشان می دهد که در سیستم رادیه مركب با شمع های منفصل، تنش محوری در شمع کاکش می باشد و همچنین محل مقدار بیشینه تنش در طول شمع — محل صفحه خشی — به اعماق پایین تری انتقال می باشد. در محل صفحه خشی تغییر مکان نسبی بین شمع و خاک برابر صفر بوده و بیشترین نیروی محوری جهت طراحی سازه بی در محل صفحه خشی بر شمع اثر می کند و نشست گروه شمع برابر نشست در محل صفحه خشی است. تنش محوری سر شمع در سیستم رادیه مركب با شمع های منفصل $5/4\text{ MPa}$ و در سیستم رادیه مركب با شمع های متصل $9/1\text{ MPa}$ است. یعنی در شمع های منفصل 40% کاهش در تنش سر شمع مشاهده می شود.

ارتفاع شکاف در سیستم رادیه مركب با شمع های منفصل، فاصله بین شمع و رادیه است. به منظور بررسی تأثیر ارتفاع شکاف، ارتفاع شکاف مختلف در نظر گرفته است. نتایج شکل ۸ نشان می دهد که با کاهش ارتفاع شکاف، نشست کاهش اندازی می باشد. همچنین با کاهش ارتفاع شکاف، مقدار تنش تماصی بیشینه در اطراف شمع افزایش و مقدار آن در فاصله بین شمع ها کاهش می باشد. با مقایسه تنش



شکل ۶. فونداسیون رادیه مركب برای برج Messe Turhaus آلمان.

است. شمع ها 20 m طول و 9 m قطر دارند. ابعاد زمین ساختمان $43 \times 24/5\text{ m}$ است، ولی به علت وجود خیابان مذکور مساحت هر رادیه $24/5 \times 17/5\text{ m}$ است. بدون وجود شمع ها نشست حدود 250 mm تخمین زده می شد، ولی فونداسیون رادیه مركب حدود 120 mm نشست کرده است. شرایط خاک محل شامل ماسه و شن تا $2/5\text{ m}$ زیر زمین است و در زیر آن رس فرانکفورت قرار گرفته است. سنگ آهک فرانکفورت نیز خارج از منطقه تأثیر فونداسیون است. سطح آب زیرزمینی دقیقاً زیر رادیه قرار گرفته است.

به علت تقارن فقط $1/4$ مدل در آنالیز سه بعدی مسئله در نظر گرفته شده است. برای مدل سازی شمع از المان های C3D4 و برای مدل سازی رادیه از المان های S3 استفاده و بارگذاری در 3 مرحله انجام شده است: در مرحله ای اول تنش های اولیه در خاک ایجاد و در مرحله ای دوم وزن رادیه برابر با $62/5\text{ KPa}$ به صورت بارگستره در سطح رادیه اعمال می شود. در مرحله ای سوم بارگستره در مرحله ای دو زیر $466/5\text{ KPa}$ نیز به صورت بارگستره بر رادیه وارد می شود. به منظور مدل سازی مصالح رادیه و شمع از بتن با رفتار کشسان خطی و برای مدل سازی رس فرانکفورت و سنگ آهک فرانکفورت از مدل رفتاری موهر-کولمب استفاده شده است که پارامترهای آن در جدول ۴ آورده شده است.

نتایج نشست، تنش تماصی نرمایش شده (p/q) (تشن تماصی به تنش متوسط بارگذاری) و تنش محوری شمع در شکل ۷ آورده شده است. نتایج منحنی نشست نشان می دهد که مقادیر نشست سیستم رادیه مركب با شمع های منفصل ($\text{Gap} = 0/5\text{ m}$) بسیار نزدیک به سیستم رادیه مركب با شمع های متصل است و شمع ها به طور مؤثری به صورت سخت کننده خاک زیر عمل می کنند. مقدار نشست بیشینه سیستم

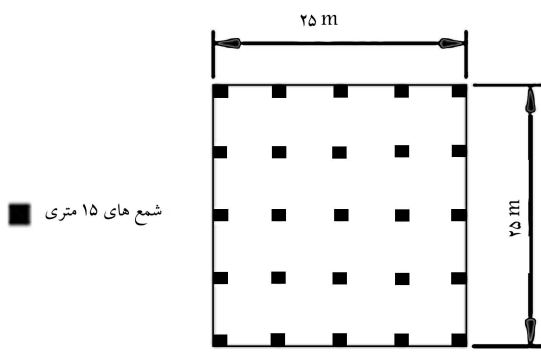
جدول ۴. خصوصیات مصالح به منظور استفاده در مدل ساختمان Messe Turhaus

	γ (kN/m^3)	φ ($^\circ$)	C (KPa)	E (MPa)	مصالح
بتن رادیه	۲۵	-	-	$0/2$	34000
بتن شمع	۲۵	-	-	$0/2$	23500
رس فرانکفورت	۱۹	20	20	$0/15$	50
ماسه	۱۸	$32/5$	0	$0/25$	75

۵. آرایش شمع‌های منفصل در سیستم DCPRF

به منظور بهینه‌سازی آرایش شمع‌های متصل مطالعاتی انجام شده است، [۱۴، ۱۳، ۱] اما تاکنون تحقیقی در مورد آرایش بهینه‌ی شمع‌های منفصل انجام نشده است. به منظور بررسی آرایش شمع‌های منفصل از مطالعه‌ی موردی شکل ۱۰ استفاده شده است. به منظور بررسی میزان تأثیر آرایش شمع‌ها، شرایط خاک زیر رادیه برای تمام آرایش‌های مختلف یکسان فرض شده است. زیرا توزیع بار بین شمع‌ها و رادیه به مقاومت و سختی خاک نیز بستگی دارد. ابعاد رادیه در پلان 25×25 متر ضخامت آن 0.8 m است. این رادیه روی خاکی با مشخصات آورده شده در جدول ۵ قرار دارد. فرض شده است سنگ بستر در عمق 10 m زیر رادیه قرار دارد. شمع‌ها با مقطع مربعی با بعد 0.6 m و با طول 15 m فرض شده است. در حالت پیش‌فرض، فاصله‌ی بین شمع‌ها در پلان $5/5\text{ m}$ است. به علت تقارن مسئله فقط $1/4$ مدل در آنالیز سه‌بعدی مسئله در نظر گرفته شده است. بارگذاری در ۳ مرحله انجام شده است: در مرحله‌ی اول نتشن‌های اولیه در خاک ایجاد می‌شوند و در مرحله‌ی دوم وزن رادیه به صورت بارگستردۀ بر سطح وارد می‌شود. در مرحله‌ی سوم بار $92/7\text{ KPa}$ نیز به صورت بارگستردۀ بر رادیه اعمال می‌شود. به منظور مدل کردن اندرکنش بین رادیه و شمع از روش اصلاح شده کولمب استفاده شده است. برای زاویه‌ی اصطکاک $= 20^\circ$ این ضربی 0.3 محاسبه می‌شود. به منظور مقایسه‌ی آرایش‌های مختلف شمع‌های منفصل در پلان آرایش مختلف در نظر گرفته شده است (شکل ۱۱).

نتایج منحنی نشست نشان می‌دهد که آرایش ۵ کمترین مقادیر نشست بیشینه و غیریکنواخت را دارد. یعنی با تمرکز شمع‌های بلندتر در مرکز رادیه، نشست بیشینه و به صورت واضح تر نشست غیریکنواخت کاهاش می‌یابد. همچنین نتایج نشان می‌دهند که آرایش ۲ بیشترین مقدار نشست بیشینه و غیریکنواخت را دارد. یعنی حالتی که شمع‌های بلند در اطراف و شمع‌های کوتاه‌تر در وسط قرار گرفته باشند،

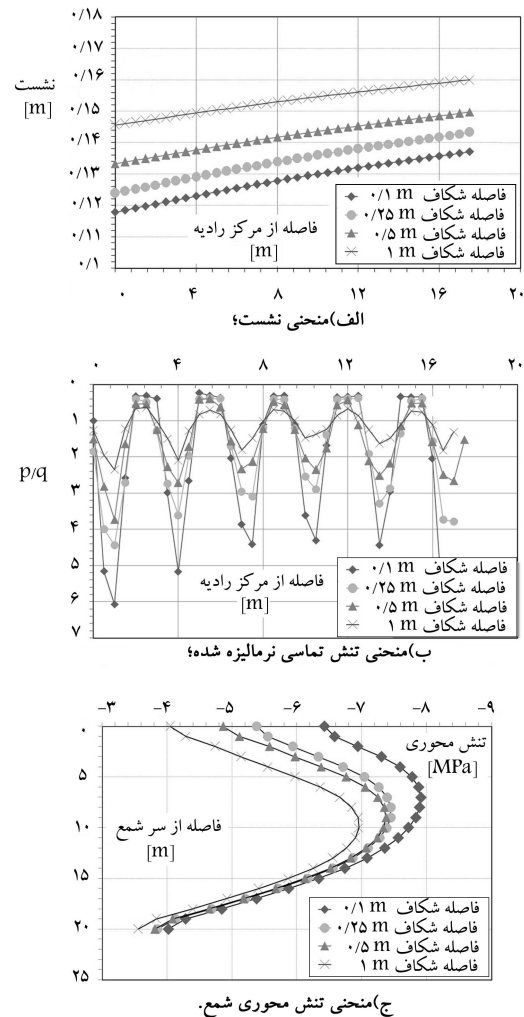


شکل ۱۰. شکل شماتیک فونداسیون رادیه‌مرکب برای مطالعه‌ی موردی.

جدول ۵. خصوصیات خاک در نظر گرفته شده در سیستم رادیه‌مرکب مطالعه‌ی موردی.

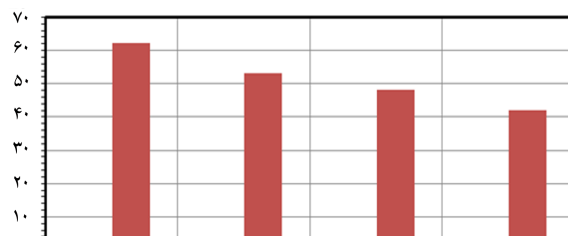
λ (kN/m ³)	φ (°)	C (KPa)	ν	E (MPa)	مصالح
۲۵	-	-	0.2	250.00	بتن رادیه
۲۵	-	-	0.2	250.00	بتن شمع
۱۹	۲۰	۲۰	0.3	۱۵	خاک

محوری در شمع نیز واضح است که هرچه ارتفاع شکاف کمتر شود، نشش محوری بیشینه افزایش و محل نشش محوری بیشینه در طول شمع به اعماق بالاتری انتقال می‌یابد. همچنین با کاهش ارتفاع شکاف، نسبت بار شمع‌ها به کل بار افزایش می‌یابد. همان‌طور که مشاهده می‌شود با کاهش ارتفاع Gap از 1 m به 0.1 m این نسبت از 42% به 62% افزایش می‌یابد (شکل ۹).



شکل ۸. بررسی ارتفاع شکاف بر نشست، نشش تاماسی و نیروی محوری شمع در سیستم رادیه‌مرکب با شمع‌های منفصل در فونداسیون Messe Torhaus

درصد بار شمع‌ها به بار کل



فاصله شکاف 1 m فاصله شکاف 0.5 m فاصله شکاف 0.25 m فاصله شکاف 0.1 m

شکل ۹. نمودار درصد بار شمع‌ها به بار کل به ازای Gap های مختلف در فونداسیون Messe Torhaus



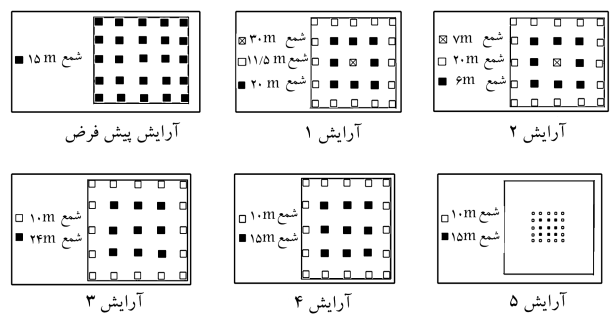
شکل ۱۳. مقایسه‌یی از تنش سرعشع‌ها در سیستم رادیه‌مرکب با شمع‌های منفصل در سیستم رادیه‌مرکب مطالعه‌یی موردي.

بدترین نوع چینش شمع‌هاست. نتایج تنش تماسی نشان می‌دهد که تمرکز تنش تماسی در زیر شمع‌های بالندتر بیشتر است. مثلاً با مقایسه‌ی شمع‌های قرارگرفته در فاصله‌ی $m = 6$ از مرکز رادیه می‌توان مشاهده کرد که برای آرایش ۳ که در این محل شمع‌های 24 m قرار گرفته‌اند، تنش تماسی بیشینه و برای آرایش شماره‌ی ۲ که در این محل شمع‌های 6 m قرار گرفته‌اند، تنش تماسی کمینه است (شکل ۱۲).
به منظور مقایسه‌ی تنش در شمع‌های منفصل، آرایش پیش‌فرض با آرایش ۶ مورد مقایسه قرار گرفته است. در هر دو حالت طول شمع‌ها 15 m است. ولی در آرایش ۶، شمع‌ها در مرکز رادیه قرار گرفته‌اند.

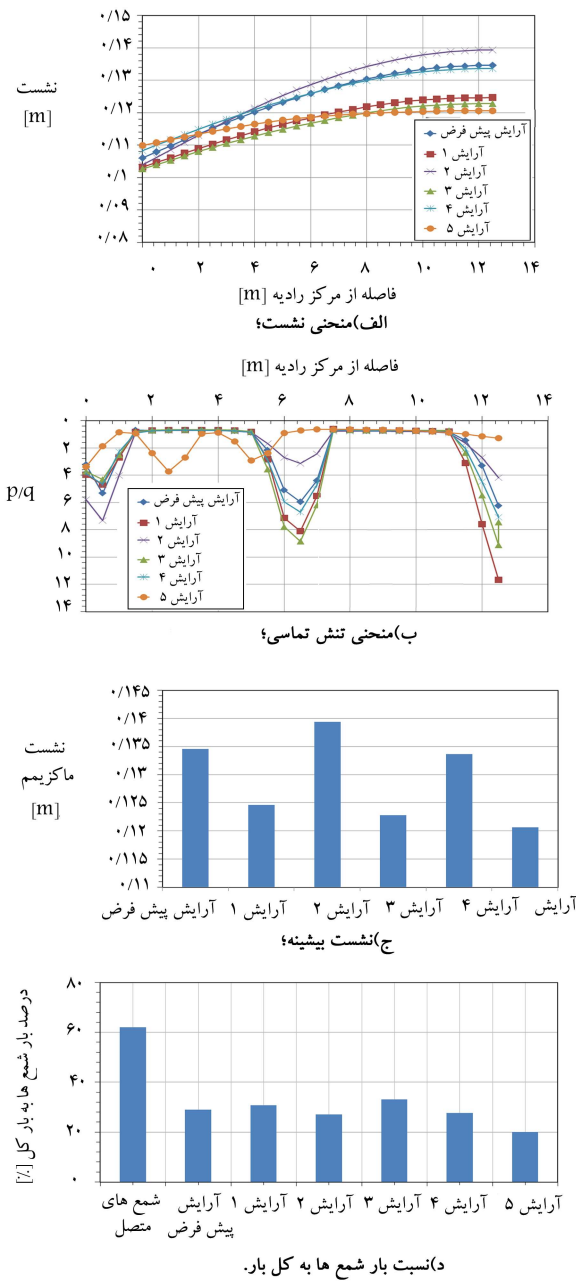
مقایسه‌یی از تنش شمع‌ها در مقطع وسط رادیه در شکل ۱۳ نشان داده شده است. نتایج نشان می‌دهند که در آرایش ۶ که شمع‌ها در مرکز رادیه قرار گرفته‌اند و فاصله‌ی آنها از هم کم است، نشست، مخصوصاً نشست غیریکواخت و تنش محوری شمع‌ها کمتر از آرایش پیش‌فرض است. در این حالت مقدار بار شمع به کل بار 21% محاسبه شده است، در صورتی که در آرایش پیش‌فرض این ضریب 29% است. این ضریب برای شمع‌های متصل 62% محاسبه شده است. همچنین نتایج نشان می‌دهند که در آرایش پیش‌فرض، شمع‌های وسط بار بیشتری تحمل می‌کنند، اما در آرایش ۶ شمع‌های کتاری بار بیشتری تحمل می‌کنند. دلیل این مسئله افزایش رادیه قرار گرفته‌اند، نشست خاک اطراف شمع سبب کاهش سختی شمع‌ها شود و در این حالت کاهش سختی شمع‌های وسط بیشتر است.

۶. نتیجه‌گیری

استفاده از شمع‌های کاهنده‌ی نشست سبب کاهش ضریب اطمینان طراحی شمع‌ها می‌شود. در این شرایط ممکن است تنش محوری بالایی در آنها ایجاد شود و یا ممکن است این شمع‌ها مقاومت جانبی کافی ایجاد نکنند و احتمال آسیب به اتصالات سازه‌یی نیز وجود خواهد داشت. در این شرایط یک گزینه استفاده از سیستم رادیه‌مرکب با شمع‌های منفصل است. به دلیل اندرکشش‌های گوناگون در سیستم رادیه‌مرکب و پیچیدگی تحلیل، استفاده از روش‌های عددی رو به افزایش است. روش‌های عددی مختلفی برای تحلیل فونداسیون رادیه‌مرکب ارائه شده است. در این تحقیق با استفاده از نرم‌افزار ABAQUS، ضمن مدل‌سازی دو بعدی و سه بعدی سیستم رادیه‌مرکب مدل فیزیکی، موارد عملی شامل فونداسیون Messeurm و فونداسیون Torhaus Messe Torhaus و همچنین مطالعه‌یی موردي، این نتایج حاصل شده است:



شکل ۱۱. آرایش‌های بهکار رفته در مطالعه‌یی موردي.



شکل ۱۲. بررسی منحنی‌های نشست، نشست تماسی و نسبت بار شمع به کل بار در آرایش‌های مختلف مطالعه‌یی موردي.

رادیه با شمعه های منفصل، با انفصال شمع ها از رادیه و به علت نیروهای کشش رو به پائین که به دلیل انتقال نیرو به شمع های منفصل به وجود می آید، فشار تاماسی خاک زیر رادیه در اطراف شمع ها به مقدار زیادی افزایش می یابد. اما این مقادیر در فاصله ای بین شمع ها تعديل می یابد و به مراتب کمتر از ظرفیت برابری رادیه می شود.

با انفصال شمع ها از رادیه، تنش محوری شمع بیشینه ای شمع افزایش می یابد و نسبت بار شمع ها به کل بار بیشتر می شود. همچنین محل تنش محوری بیشینه در طول شمع به اعمق بالاتری انتقال می یابد. تحلیل ها نشان داده است که با تمرکز شمع های منفصل در مرکز رادیه، مقادیر نشست، مخصوصاً نشست غیریکنواخت و نسبت تنش شمع ها به رادیه کاهش می یابد.

نتایج مربوط به نشست حاکی از آن است که شمع های منفصل به منزله ای سخت کننده ای خاک عمل کرده و مقادیر نشست سیستم رادیه مركب با شمع های منفصل نزدیک به مقادیر نشست سیستم رادیه مركب با شمع های متصل است. یعنی با جداسازی شمع ها از رادیه کارایی شان در کاهش نشست کاهش چندانی نمی یابد.

با انفصال شمع ها از رادیه، تنش محوری در سر شمع و طول شمع کاهش می یابد. در مقایسه با شمع های متصل در سیستم رادیه با شمع های منفصل، محل بیشینه ای نیروی محوری سازه بی در شمع (صفحه خشمی) به اعمق پائین تر انتقال می یابد.

مقادیر تنش تاماسی در زیر رادیه نشان می دهد که تنش تاماسی در حالت رادیه با شمع های منفصل بیشتر از سیستم رادیه با شمع های متصل است. اما در حالت

پانوشت ها

1. working load
2. rough
3. case histories
4. axisymmetric
5. Frankfurt clay
6. Frankfurt limestone

منابع (References)

1. Prakoso, W.A. and Kulhawy, F.H. "Contribution to piled raft foundation design", *J. Geotech. Engng., ASCE*, **127**(1), pp. 17-24 (2001).
2. Cao, X.D., Wong, I. and Chang, M. "Behavior of model rafts resting on pile-reinforced sand", *J. of Geotechnical and Geoenviromental Engineering*, **130**(2), pp.129-138 (February 2004).
3. Randolph, M.F. "Design methods for pile groups and piled rafts", State-of-the-art report, *13 th Int. Conf. Soil Mech. Foundn Engng*, New delhi, **5**, pp. 61-82 (1994).
4. Hemsley, J.A., *Design Applications of Raft Foundations*, Thomas Telford Ltd., London (2000).
5. Veiskarami, M., Eslami, A., Ranjbar, M.M. and Riyazi, T. "Geotechnical interaction of mat foundation and pile group, two case studies", *Esteghlal Journal of Engineering, Isfahan University of Technology*, **36**(1), pp. 93-107 (September 2007).
6. Randolph, M.F. and Clancy, P. "Efficient design of piled rafts", *Proc., 2nd Int. Geotechnical Seminar on Deep Foundations on Bored Auger Piles*, Ghent, Belgium, pp. 119-130 (1993).
7. Hooper, J.A. "Review of behavior of piled raft piled raft foundations", *Construction Industry Research and Information Association*, London, 1979, Rep. 83, on: Version 6.8; Dassault Systèmes (2008).
8. ABAQUS User's Manual, Abaqus/CAE User's Manual. Abaqus Online Documentation: Version 6.8; Dassault Systèmes (2008).
9. Lee, C.J., Bolton, M.D. and Al-Tabbaa, A. "Numerical modelling of group effects on the distribution of dragloads in pile foundations", *Geotechnique*, **52**(5), pp. 325-335 (2002).
10. Randolph, M.F. and Wroth, C.P. "Application of the failure state in undrained simple shear to the shaft capacity of driven piles", *Geotechnique*, **31**(1), pp. 143-157 (1981).
11. Al Gaboby, Z. "Numerical modelling of piled raft", A Thesis Submitted for the Degree of Philosophy, Praha, únor (2010).
12. Reul, O. and Randolph, M.F. "Piled rafts in overconsolidated clay: Comparison of in situ measurements and numerical analysis", *Géotechnique*, **53**(3), pp. 301-315 (2003).
13. Horikoshi, K. and Randolph, M.F. "A contribution to optimum design of piled rafts", *Geotechnique*, London, England , **48**(3), pp. 301-317 (1998).
14. Esalmi, A., Veis Karami, M. and Eslami, M.M. "Piled-raft foundation (PRF) optimization design with connected and disconnected piles", *11 th International Conference on Deep Foundations*, New York, NY, USA, (DFI) (2008).

GEOTECHNICAL PERFORMANCE OF PILED RAFT FOUNDATIONS WITH DISCONNECTED PILES AND EFFECTS OF VARIOUS DESIGN FACTORS

S. Salehi Malekshah

s.salehi@aut.ac.ir

A. Eslami(corresponding author)

afeslami@aut.ac.ir

**Dept. of Civil and Environmental Engineering
Amir Kabir University of Technology**

Sharif Civil Engineering Journal

Volume 29, Issue 4, Page 37-44, Original Article

© Sharif University of Technology

- Received 9 March 2011; received in revised form 6 March 2012;
accepted 14 July 2012.

Abstract

In the conventional design of deep foundations, it is usually assumed that the entire design load of the structure is carried by the piles, and the entire system acts as a pile group. Pile groups are conventionally designed by adopting a relatively high factor of safety to the piles, and the major design criterion is the bearing capacity of the group. The piled-raft foundation (PRF) is a recent design concept, which is used as an effective method of foundation design to reduce settlements of structures. Recently, the use of settlement reducer piles in the design of piled raft foundations has led to the reduction in number or dimension of the piles. However, the system may involve high axial stresses to be induced in a relatively small number of piles; or in the occurrence of damage to structural connections. Therefore, an alternative approach is to disconnect the piles from the raft. This system is known as the disconnected or non-connected piled raft foundation (DCPRF or NCPRF).

The use of numerical analyses using finite element techniques has become popular in recent years in the field of foundation engineering. Because of rigorous interaction for piled raft foundation elements, physical modeling measurements and case history records have been considered to justify numerical modeling results. Finite element modeling using ABAQUS software, with emphasis on determination of settlement, contact pressure and axial stress of piles, has been carried out. Also, effects of gap height-distance between the raft and the disconnected pile heads, and pile group arrangements, have

been examined in order to optimize the design approach. Results indicate that using disconnected piles, the ratio of pile load to total load decrease and the neutral plane (the plane of maximum structural force in piles) shifts to lower depths. Also, reducing gap height leads to an increase in the maximum axial stress of the piles and the pile load to total load ratio. Moreover, concentration of piles at the center of the raft reduces settlement and pile stress.

Key Words: Piled raft foundations (PRF), disconnected piles, numerical modeling, optimization, gap.